
การเปรียบเทียบวิธีการพยากรณ์ระหว่างวิธีบอคซ์-เจนกินส์ วิธีการทำให้เรียบแบบเอกซ์โพเนนเชียลที่มีคุณภาพ
อย่างง่าย และวิธีการพยากรณ์รวม สำหรับการพยากรณ์อุณหภูมิเฉลี่ยต่อเดือนในเขตกรุงเทพมหานคร
A Comparison of Forecasting Methods between Box-Jenkins, Simple Seasonal Exponential
Smoothing, and Combined Forecasting Methods for Predicting Monthly Mean Temperature
in Bangkok

วรangคณา กีรติวิบูลย์

สาขาวิชาคณิตศาสตร์และสถิติ คณะวิทยาศาสตร์ มหาวิทยาลัยทักษิณ วิทยาเขตพัทลุง
ศูนย์วิจัยพลังงานและสิ่งแวดล้อม มหาวิทยาลัยทักษิณ วิทยาเขตพัทลุง วิทยาเขตพัทลุง

Warangkhana Keerativibool

Department of Mathematics and Statistics, Faculty of Science, Thaksin University, Phatthalung Campus,
Research Center in Energy and Environment, Thaksin University, Phatthalung Campus

บทคัดย่อ

วัตถุประสงค์ของการวิจัยครั้งนี้คือ การเปรียบเทียบวิธีการพยากรณ์ 3 วิธี ได้แก่ วิธีบอคซ์-เจนกินส์ วิธีการทำให้เรียบแบบเอกซ์โพเนนเชียลที่มีคุณภาพอย่างง่าย และวิธีการพยากรณ์รวมระหว่าง 2 วิธีข้างต้น สำหรับการพยากรณ์อุณหภูมิเฉลี่ยต่อเดือนในเขตกรุงเทพมหานคร โดยใช้อุปกรณ์เวลาอุณหภูมิตั้งแต่เดือนมกราคม 2546 ถึงเดือนมกราคม 2556 จำนวน 121 ค่า จากเว็บไซต์ของบริษัท Prôpelin Consulting S.L.U. ประเทศสเปน ซึ่งมีสำนักงานใหญ่ตั้งอยู่ที่ประเทศสหราชอาณาจักร และมีการรวบรวมข้อมูลอุณหภูมิจากทั่วโลกที่ผ่านการรับรองความถูกต้องโดยสถานทูตและสถานองค์กรต่างๆ ผู้วิจัยได้แบ่งข้อมูลออกเป็น 2 ชุด ชุดที่ 1 ตั้งแต่เดือนมกราคม 2546 ถึงเดือนพฤษภาคม 2555 จำนวน 113 ค่า สำหรับการสร้างตัวแบบพยากรณ์ ชุดที่ 2 ตั้งแต่เดือนมิถุนายน 2555 ถึงเดือนมกราคม 2556 จำนวน 8 ค่า สำหรับการคัดเลือกวิธีการพยากรณ์ที่เหมาะสมโดยใช้เกณฑ์เบอร์เช่นต์ความคลาดเคลื่อนสัมบูรณ์เฉลี่ยที่ต่ำที่สุด ผลการศึกษาพบว่า วิธีการพยากรณ์รวมมีความเหมาะสมกับอุณหภูมิเวลาชุดนี้มากที่สุด ซึ่งมีตัวแบบพยากรณ์ คือ

$$\hat{Y}_t = 1.397630 - 0.146846\hat{Y}_{1t} + 1.098697\hat{Y}_{2t}$$

เมื่อ \hat{Y}_{1t} และ \hat{Y}_{2t} แทนค่าพยากรณ์เดียว ณ เวลา t จากวิธีบอคซ์-เจนกินส์ และวิธีการทำให้เรียบแบบเอกซ์โพเนนเชียลที่มีคุณภาพอย่างง่าย ตามลำดับ

คำสำคัญ : อุณหภูมิเฉลี่ย บอคซ์-เจนกินส์ การทำให้เรียบแบบเอกซ์โพเนนเชียลที่มีคุณภาพอย่างง่าย การพยากรณ์รวม เบอร์เช่นต์ ความคลาดเคลื่อนสัมบูรณ์เฉลี่ย

*E-mail: warang27@gmail.com

Abstract

The purpose of this research is to compare three forecasting methods which are Box-Jenkins method, simple seasonal exponential smoothing method, and combined forecasting between above two methods for predicting monthly mean temperature in Bangkok. Time series that used is the temperature during January 2003 to January 2013 of 121 values from the website of Própelin Consulting S.L.U. company in Spain, which has its headquarters located in the United States. The temperature data are collected from around the world and have been certified by the Embassy and Consulates. The data are split into two sets, the first 113 values from January 2003 until May 2012 for the modeling and the last 8 values from June 2012 until January 2013 for finding the most suitable forecasting method by the criterion of the lowest mean absolute percentage error. The results show that combined forecasting method is the most suitable for this time series which the forecasting model is

$$\hat{Y}_t = 1.397630 - 0.146846\hat{Y}_{1t} + 1.098697\hat{Y}_{2t}$$

where \hat{Y}_{1t} and \hat{Y}_{2t} represent the single forecasts at time t from Box-Jenkins method and simple seasonal exponential smoothing method, respectively.

Keywords : Mean Temperature, Box-Jenkins, Simple Seasonal Exponential Smoothing, Combined Forecasting, Mean Absolute Percentage Error

บทนำ

คนส่วนใหญ่กังวลกับอุณหภูมิ (Temperature) และความร้อน (Heat) เช่น จากรสึกว่า “ความร้อนในวันนี้” คำว่า “ความร้อน” ในวันนี้ ทางวิทยาศาสตร์จะหมายถึง “อุณหภูมิ” โดยความร้อนเป็นพลังงานรูปหนึ่งที่สามารถทำให้วัตถุร้อนขึ้น แต่อุณหภูมิเป็นการแสดงว่าวัตถุนั้นร้อนเท่าไร ดังนั้น อุณหภูมิ จึงหมายถึง ระดับของความร้อน (Degree of Heat) ในขณะที่ความร้อนจะหมายถึง ปริมาณพลังงานความร้อน (Quantity of Heat Energy) ซึ่งการเพิ่มความร้อนทำให้อุณหภูมิสูงขึ้น และการลดความร้อนทำให้อุณหภูมิต่ำลง นอกจากนี้ความแตกต่างของอุณหภูมิยังบอกทิศทางการไหลของความร้อน โดยความร้อนจะไหลจากวัตถุที่มีอุณหภูมิสูงกว่าไปยังวัตถุที่มีอุณหภูมิต่ำกว่า ดังนั้น อาจให้คำนิยามเชิงปฏิบัติการได้ว่า อุณหภูมิเป็นคุณสมบัติในการพิจารณาว่าความร้อนจะไหลเข้าหรือไหลออกจากวัตถุเมื่อวัตถุนั้น สัมผัสกับวัตถุอื่น (พัฒนาพงษ์ วีรยุทธ์กิจาร, 2556; สำนักวิทยบริการและเทคโนโลยีสารสนเทศ มหาวิทยาลัยราชภัฏอุตรดิตถ์, ม.ป.ป.) สำหรับหน่วยวัดอุณหภูมิ (Temperature Scale Unit) ที่นิยมใช้มากที่สุด คือ หน่วยเซลเซียส (Celsius: °C) มีจุดเยือกแข็งของน้ำที่ 0 องศาเซลเซียส และจุดเดือดของน้ำที่ 100 องศาเซลเซียส หน่วยวัดอุณหภูมิอื่นๆ ได้แก่ หน่วย华氏 (Fahrenheit: °F) มีจุดเยือกแข็งของน้ำที่ 32 องศา华氏 และจุดเดือดของน้ำที่ 212 องศา华氏 และหน่วยเคลวิน (Kelvin: K) มีจุดเยือกแข็งของน้ำที่ 273.15 เคลวิน และจุดเดือดของน้ำที่ 373.15 เคลวิน (พัฒนาพงษ์ วีรยุทธ์กิจาร, 2556; สาขาวิทยาศาสตร์มัธยมศึกษาสถาบันส่งเสริมการสอนวิทยาศาสตร์และเทคโนโลยี, ม.ป.ป.)

ปัจจุบันสภาพภูมิอากาศมีแนวโน้มที่เปลี่ยนแปลงอย่างรวดเร็ว (Climate Change) โดยสาเหตุหลักนั้นเกิดจากพฤติกรรมต่างๆ ของมนุษย์ เช่น การตัดไม้ทำลายป่า การทำเกษตรกรรมบางประเภท รวมทั้งการผลิตของเสียจากภาคอุตสาหกรรม ซึ่งทำให้ความเข้มข้นของก๊าซเรือนกระจก (Greenhouse Gases: GHGs) ในชั้นบรรยากาศมีค่าเพิ่มมากขึ้น ก๊าซเรือนกระจกที่สำคัญ ได้แก่ คาร์บอนไดออกไซด์ (Carbon Dioxide: CO₂) มีเทน (Methane: CH₄) และไนโตรสออกไซด์ (Nitrous Oxide: N₂O) โดยปกติก้าจะเพิ่มขึ้นจะเกิดขึ้นและมีอยู่แล้วตามธรรมชาติ ถ้าทั้งปัจจัยมีความสำคัญ กับสิ่งมีชีวิตบนโลก เนื่องจากมีคุณสมบัติในการดูดซับคลื่นรังสีความร้อนหรือรังสีอินฟราเรด (Infrared) จึงช่วยรักษาความร้อนจากแสงอาทิตย์ให้มีอยู่ในชั้นบรรยากาศโลก แต่การมีปริมาณก๊าซเหล่านี้มากกว่าระดับที่เหมาะสมต่อการดำเนินชีวิตของสิ่งมีชีวิต

บนโลก ส่งผลให้อุณหภูมิของโลกสูงขึ้นในระดับที่ผิดปกติ (ชัยวัฒน์ มั่นเจริญ, ม.ป.ป.) ซึ่งอุณหภูมิเป็นองค์ประกอบทางอุตุนิยมวิทยาที่มีความสำคัญ เพราะการเปลี่ยนแปลงของอุณหภูมิเป็นสาเหตุให้องค์ประกอบทางอุตุนิยมวิทยาอื่นๆ เปลี่ยนแปลง เช่น เกิดการพากล่าวและเกิดปรากฏการณ์ต่อเนื่อง ได้แก่ ลม เมฆ หรือฝน (รังสรรค์ อาภาคพงษ์กุล, 2547) โดยความแตกต่างของอุณหภูมิในแต่ละพื้นที่หรือแต่ละช่วงเวลาอาจเกิดจากปัจจัยหลากหลายประการ อาทิ รังสีดวงอาทิตย์ สภาพพื้นดินและพื้นน้ำ กระแสลม ในมหาสมุทร ความสูงของพื้นที่ ละตitud ตำแหน่งทางภูมิศาสตร์ และปริมาณเมฆ เป็นต้น ทำให้ในวันหนึ่งๆ แต่ละบุคคลอาจมีความรู้สึกว่าอุณหภูมิหรืออุณหภูมิที่แตกต่างกัน ซึ่งไม่สามารถใช้เป็นมาตรฐานในการบอกอุณหภูมิของอากาศได้ จึงมีผู้ประดิษฐ์เครื่องมือสำหรับการวัดอุณหภูมิของอากาศขึ้นมา เรียกว่า เทอร์มомิเตอร์ (Thermometer) โดยเทอร์มอมิเตอร์ที่ใช้ในการศึกษาสภาพอากาศ คือ เทอร์มอมิเตอร์ชนิดสูงสุด-ต่ำสุด (Max-Min Thermometer) ใช้สำหรับการวัดอุณหภูมิสูงที่สุดและต่ำที่สุด ซึ่งเป็นค่าทางสถิติที่มีประโยชน์ทางอุตุนิยมวิทยาในการคำนวณเป็นค่าเฉลี่ยของอุณหภูมิในแต่ละวัน (Daily Mean Temperature) โดยการนำอุณหภูมิสูงที่สุดและต่ำที่สุดรวมกันแล้วหาร 2 ในขณะที่การคำนวณอุณหภูมิเฉลี่ยต่อเดือน (Monthly Mean Temperature) จะใช้ค่าเฉลี่ยอุณหภูมิของแต่ละวันรวมกันแล้วหารด้วยจำนวนวัน และการคำนวณอุณหภูมิเฉลี่ยต่อปี (Yearly Mean Temperature) จะใช้ค่าเฉลี่ยอุณหภูมิของแต่ละเดือนรวมกันแล้วหารด้วย 12 (ศูนย์สารสนเทศ สำนักชลประทานที่ 14, ม.ป.ป.)

จากปัญหาของความแปรปรวนในอุณหภูมิและสภาพภูมิอากาศ จึงนำมาสู่ความสนใจของผู้วิจัยที่จะพยายามอุณหภูมิเฉลี่ยต่อเดือน กรณีศึกษาเขตพื้นที่กรุงเทพมหานคร เนื่องจากกรุงเทพมหานครเป็นเมืองหลวงของประเทศไทย เป็นศูนย์กลางการปกครอง การศึกษา การคมนาคม การพาณิชย์ การสื่อสาร และแหล่งรวมวัฒนธรรมต่างๆ มากมาย ดังนั้นการได้ทราบถึงสภาพภูมิอากาศที่เปลี่ยนแปลงไปในอนาคต จะเป็นประโยชน์ต่อการปรับตัวของผู้อยู่อาศัยเพื่อให้สามารถป้องกันปัญหาต่างๆ ที่อาจเกิดขึ้นได้ โดยการวิจัยครั้งนี้ได้เปรียบเทียบวิธีการพยากรณ์ทางสถิติ 3 วิธี ได้แก่ วิธีบอช์-เงนกินส์ วิธีการทำให้เรียบแบบเอกซ์โพเนนเชียลที่มีคุณภาพดีอย่างง่าย และวิธีการพยากรณ์รวมระหว่าง 2 วิธีข้างต้น เนื่องจากเป็นวิธีการพยากรณ์ที่มีความเหมาะสมกับอนุกรมเวลาชุดนี้มากกว่าวิธีการพยากรณ์อื่นๆ

วัสดุอุปกรณ์และวิธีการวิจัย

อนุกรมเวลาอุณหภูมิเฉลี่ยต่อเดือนในเขตกรุงเทพมหานคร ตั้งแต่เดือนมกราคม 2546 ถึงเดือนมกราคม 2556 จำนวน 121 ค่า ที่ใช้ในการวิจัยครั้งนี้ เป็นข้อมูลทุติยภูมิ จากเว็บไซต์ของบริษัท Própelin Consulting S.L.U. ประเทศสเปน (Própelin Consulting S.L.U., 2013, February) ซึ่งมีสำนักงานใหญ่ตั้งต้องอยู่ที่ประเทศ สหรัฐอเมริกา และมีการรวบรวมข้อมูลอุณหภูมิจากทั่วโลกที่ผ่านการรับรองความถูกต้องจากสถานทุตและสถานกงสุล โดย อนุกรมเวลาอุณหภูมิเฉลี่ยต่อเดือนในเขตกรุงเทพมหานครถูกเก็บ รวมรวมที่สถานีอากาศหมายเลข (Weather Station) 484550 ละติจูด (Latitude) 13.66 ลองจิจูด (Longitude) 100.56 อัลติจูด (Altitude) 4 ผู้วิจัยได้แบ่งข้อมูลออกเป็น 2 ชุด ข้อมูลชุดที่ 1 ตั้งแต่เดือนมกราคม 2546 ถึงเดือนพฤษภาคม 2555 จำนวน 113 ค่า สำหรับการสร้างตัวแบบพยากรณ์โดยใช้โปรแกรม SPSS (Statistical Package for Social Sciences) รุ่น 17 ด้วยวิธีการพยากรณ์ทางสถิติ 3 วิธี ได้แก่ วิธีบอกร่อง-เจนกินส์ วิธีการทำให้เรียบแบบเอกซ์โพเนนเชียล ที่มีคุณภาพอย่างง่าย และวิธีการพยากรณ์รวม ข้อมูลชุดที่ 2 ตั้งแต่ เดือนมิถุนายน 2555 ถึงเดือนมกราคม 2556 จำนวน 8 ค่า สำหรับ การตัดเลือกวิธีการพยากรณ์ที่เหมาะสมโดยใช้เกณฑ์เปอร์เซ็นต์ ความคลาดเคลื่อนสัมบูรณ์เฉลี่ยต่อเดือนที่สุด

1. การศึกษาลักษณะการเคลื่อนไหวของอนุกรมเวลา

การศึกษาความเคลื่อนไหวของอนุกรมเวลาเป็นการ พิจารณาในเบื้องต้นว่าอนุกรมเวลา มีการเปลี่ยนแปลงในลักษณะใด มีส่วนประกอบของอนุกรมเวลาใดบ้าง แนวโน้ม คุณภาพ วัฏจักร หรือเหตุการณ์ที่ผิดปกติ โดยพิจารณาจากการภาพของอนุกรมเวลา เทียบกับเวลา (Bowerman & O'Connell, 1993)

2. การวิเคราะห์ข้อมูล

2.1 การพยากรณ์โดยวิธีบอกร่อง-เจนกินส์

วิธีบอกร่อง-เจนกินส์ เป็นวิธีการวิเคราะห์อนุกรมเวลาที่มีความ ถูกต้องสูง เนื่องจากมีการพิจารณาลักษณะของอนุกรมเวลาว่ามี สมมติฐานใดอย่างไร เพื่อสร้างเป็นตัวแบบพยากรณ์ที่เหมาะสม และมีการคำนึงถึงความผันแปรตามคุณภาพซึ่งเป็นส่วนประกอบที่ ความสำคัญ โดยมีตัวแบบทั่วไป คือ Seasonal Autoregressive Integrated Moving Average: SARIMA(p, d, q)(P, D, Q)_s แสดงดังสมการที่ (1) (Bowerman & O'Connell, 1993; Box et al., 1994) และขั้นตอนการสร้างตัวแบบพยากรณ์แสดง รายละเอียดใน วรากคณา กีตติวิญญ์ และเจ๊อ้อฟาน มาทีเล (2556)

$$\phi_p(B) \Phi_p(B^s) (1-B)^d (1-B^s)^D Y_t = \delta + \theta_q(B) \Theta_Q(B^s) \varepsilon_t \quad (1)$$

เมื่อ Y_t แทนอนุกรมเวลา ณ เวลา t

ε_t แทนอนุกรมเวลาของความคลาดเคลื่อนที่มีการ แจกแจงปกติและเป็นอิสระกัน ด้วยค่าเฉลี่ยเท่ากับศูนย์ และ ความแปรปรวนคงที่ทุกช่วงเวลา

$\delta = \mu \phi_p(B) \Phi_p(B^s)$ แทนค่าคงที่ โดยที่ μ แทนค่าเฉลี่ยของ อนุกรมเวลาที่เป็นสเตชันนารี (Stationary Time Series)

$\phi_p(B) = 1 - \phi_1 B - \phi_2 B^2 - \dots - \phi_p B^p$ แทนตัวดำเนินการ สมมติฐานในตัวเองแบบไม่มีคุณภาพอันดับที่ p (Non-Seasonal Autoregressive Operator of Order p : AR(p))

$\Phi_p(B^s) = 1 - \Phi_1 B^s - \Phi_2 B^{2s} - \dots - \Phi_p B^{ps}$ แทนตัวดำเนินการ สมมติฐานในตัวเองแบบมีคุณภาพอันดับที่ P (Seasonal Autoregressive Operator of Order P : SAR(P))

$\theta_q(B) = 1 - \theta_1 B - \theta_2 B^2 - \dots - \theta_q B^q$ แทนตัวดำเนินการเฉลี่ย เคลื่อนที่แบบไม่มีคุณภาพอันดับที่ q (Non-Seasonal Moving Average Operator of Order q : MA(q)))

$\Theta_Q(B^s) = 1 - \Theta_1 B^s - \Theta_2 B^{2s} - \dots - \Theta_Q B^{qs}$ แทนตัวดำเนินการ เฉลี่ยเคลื่อนที่แบบมีคุณภาพอันดับที่ Q (Seasonal Moving Average Operator of Order Q : SMA(Q)))

t แทนเวลา ซึ่งมีค่าตั้งแต่ 1 ถึง n โดยที่ n แทนจำนวน ข้อมูลในอนุกรมเวลาชุดที่ 1

s แทนจำนวนฤดูกาล

d และ D แทนลำดับที่ของการหาผลต่างและผลต่าง คุณภาพ ตามลำดับ

B แทนตัวดำเนินการถอยหลัง (Backward Operator) โดยที่ $B^s Y_t = Y_{t-s}$

2.2 การพยากรณ์โดยวิธีการทำให้เรียบแบบเอกซ์โพเนนเชียลที่มีคุณภาพ

วิธีการทำให้เรียบแบบเอกซ์โพเนนเชียลที่มีคุณภาพ อย่างง่ายมีความเหมาะสมกับการพยากรณ์อนุกรมเวลาที่มีเพียง ความผันแปรตามคุณภาพ ไม่มีส่วนประกอบของแนวโน้ม ซึ่งมี ตัวแบบและตัวแบบพยากรณ์ แสดงดังสมการที่ (2) และ (3) ตามลำดับ (สมเกียรติ เกตุอี้ยม, 2548)

$$Y_t = \beta_0 + S_t + \varepsilon_t \quad (2)$$

$$\hat{Y}_t = a_t + \hat{S}_t \quad (3)$$

เมื่อ Y_t แทนอนุกรมเวลา ณ เวลา t

β_0 และ S_t แทนพารามิเตอร์ของตัวแบบแสดงระยะ ตัดแกน และความผันแปรตามคุณภาพ ตามลำดับ

\hat{Y}_t แทนอนุกรมเวลาของความคลาดเคลื่อนที่มีการ
แจกแจงปกติและเป็นอิสระกัน ด้วยค่าเฉลี่ยเท่ากับศูนย์ และ¹
ความแปรปรวนคงที่ทุกช่วงเวลา

\hat{Y}_t แทนค่าพยากรณ์ ณ เวลา t

a_t และ \hat{S}_t แทนค่าประมาณ ณ เวลา t ของพารามิเตอร์
 β_0 และ S_t ตามลำดับ

โดยที่ $a_t = \alpha(Y_{t-s}) + (1-\alpha)a_{t-1}$

$\hat{S}_t = \delta(Y_t - a_t) + (1-\delta)\hat{S}_{t-s}$

α และ δ แทนค่าคงที่การทำให้เรียบ โดยที่ $0 < \alpha < 1$ และ
 $0 < \delta < 1$

t แทนเวลา ซึ่งมีค่าตั้งแต่ 1 ถึง n โดยที่ n แทนจำนวน
ข้อมูลในอนุกรมเวลาชุดที่ 1

s แทนจำนวนคุณภาพ

2.3 การพยากรณ์โดยวิธีการพยากรณ์รวม

การพยากรณ์รวมเป็นวิธีการประยุกต์ที่มีการรวมค่าพยากรณ์จากวิธีการพยากรณ์เดียวตั้งแต่ 2 วิธีขึ้นไป เพื่อให้ได้ค่าพยากรณ์ใหม่ที่มีความคลาดเคลื่อนน้อยที่สุด สามารถใช้ได้ดีในกรณีที่วิธีการพยากรณ์เดียวมีความเหมาะสมกับอนุกรมเวลามากกว่า 1 วิธี (มุกดา แม่นมินทร์, 2549) ณ ที่นี่ได้พิจารณาวิธีการพยากรณ์เดียว 2 วิธี คือ วิธีบอกซ์-เจนกินส์ และวิธีการทำให้เรียบแบบเบอกซ์-โพเนนเชียลที่มีคุณภาพอย่างง่าย เนื่องจากค่าพยากรณ์ของวิธีการเหล่านี้มีความสัมพันธ์น้อยอย่างมากกับอนุกรมเวลาชุดที่ 1 (สัมประสิทธิ์สหสัมพันธ์มีค่าเท่ากับ 0.7745 และ 0.8454 ตามลำดับ) ดังนั้นตัวแบบของวิธีการพยากรณ์รวมที่ใช้ในการวิจัยครั้นี้ คือ

$$\hat{Y}_t = b_0 + b_1 \hat{Y}_{1t} + b_2 \hat{Y}_{2t} \quad (4)$$

เมื่อ \hat{Y}_t แทนค่าพยากรณ์รวม ณ เวลา t

\hat{Y}_{1t} และ \hat{Y}_{2t} แทนค่าพยากรณ์เดียว ณ เวลา t จากวิธีบอกซ์-เจนกินส์ และวิธีการทำให้เรียบแบบเบอกซ์-โพเนนเชียลที่มีคุณภาพอย่างง่าย ตามลำดับ

b_0 , b_1 และ b_2 แทนค่าทั่วไปขององค์ประกอบของแต่ละวิธีการพยากรณ์เดียวที่วิธีกำลังสองน้อยที่สุด (Least Squares Method) (Montgomery et al., 2006) ซึ่งคำนวณจากจำนวนข้อมูลพยากรณ์ในอนุกรมเวลาชุดที่ 1 ณ ที่นี่คือ 100 ค่า เนื่องจากมีการแปลงข้อมูลด้วยการหาผลต่างและผลต่างคุณภาพลำดับที่ 1 ของวิธีบอกซ์-เจนกินส์ ทำให้ไม่มีค่าพยากรณ์ 13 ค่าแรก

3. การคัดเลือกวิธีการพยากรณ์ที่เหมาะสม

การวิจัยครั้นี้ได้คัดเลือกวิธีการพยากรณ์ที่เหมาะสม
มากที่สุดกับอนุกรมเวลาอุณหภูมิเฉลี่ยต่อเดือนในเขตกรุงเทพ
มหานคร จากวิธีการพยากรณ์ 3 วิธี ได้แก่ วิธีบอกซ์-เจนกินส์

วิธีการทำให้เรียบแบบเบอกซ์-โพเนนเชียลที่มีคุณภาพอย่างง่าย และ
วิธีการพยากรณ์รวม โดยทำการพยากรณ์อุณหภูมิของข้อมูล
ชุดที่ 2 คือ ข้อมูลตั้งแต่เดือนมิถุนายน 2555 ถึงเดือนมกราคม
2556 จำนวน 8 ค่า ได้ค่าความแตกต่างระหว่างข้อมูลจริงกับ
ค่าพยากรณ์ ($Error: e_t = Y_t - \hat{Y}_t$) เพื่อคำนวณค่าเปอร์เซ็นต์ความ
คลาดเคลื่อนสัมบูรณ์เฉลี่ย (Mean Absolute Percentage Error:
MAPE) ซึ่งมีสูตรแสดงดังสมการที่ (5) (สมเกียรติ เกตุเอี่ยม, 2548)
โดยวิธีการพยากรณ์ใด มีค่า MAPE ต่ำที่สุด คือ วิธีการพยากรณ์
ที่มีความเหมาะสมกับอนุกรมเวลาชุดนี้มากที่สุด

$$MAPE = \frac{100}{n_2} \sum_{t=1}^{n_2} \left| \frac{e_t}{Y_t} \right| \quad (5)$$

เมื่อ Y_t แทนอนุกรมเวลา ณ เวลา t

\hat{Y}_t แทนค่าพยากรณ์ ณ เวลา t

$e_t = Y_t - \hat{Y}_t$ แทนความคลาดเคลื่อนจากการพยากรณ์ ณ
เวลา t

t แทนเวลา ซึ่งมีค่าตั้งแต่ 1 ถึง n_2 โดยที่ n_2 แทนจำนวน
ข้อมูลในอนุกรมเวลาชุดที่ 2

4. การพยากรณ์อุณหภูมิเฉลี่ยต่อเดือนในเขตกรุงเทพมหานคร

จากการคัดเลือกวิธีการพยากรณ์ที่เหมาะสมของวิธีการ
พยากรณ์ 3 วิธี ได้แก่ วิธีบอกซ์-เจนกินส์ วิธีการทำให้เรียบแบบ
เบอกซ์-โพเนนเชียลที่มีคุณภาพอย่างง่าย และวิธีการพยากรณ์รวม
เมื่อทราบว่าวิธีการพยากรณ์ใดมีค่าเปอร์เซ็นต์ความคลาดเคลื่อน
สัมบูรณ์เฉลี่ย (MAPE) ต่ำที่สุด จะใช้วิธีการพยากรณ์นั้นสำหรับ
การพยากรณ์อุณหภูมิเฉลี่ยต่อเดือนในเขตกรุงเทพมหานคร ตั้งแต่
เดือนกุมภาพันธ์ถึงเดือนธันวาคม 2556 ต่อไป

ผลการวิจัยและวิจารณ์ผล

1. ผลการศึกษาลักษณะการเคลื่อนไหวของอนุกรมเวลา

จากการพิจารณาลักษณะการเคลื่อนไหวของอนุกรมเวลา
ชุดที่ 1 คือ อุณหภูมิเฉลี่ยต่อเดือนในเขตกรุงเทพมหานคร ตั้งแต่
เดือนมกราคม 2546 ถึงเดือนพฤษภาคม 2555 จำนวน 113 ค่า
ดังภาพที่ 1 พบว่า อนุกรมเวลาชุดนี้มีส่วนประกอบของความ
ผันผวนตามคุณภาพอย่างชัดเจน โดยมีการเกิดข้าของข้อมูลในทุกๆ
12 ค่า นั่นคือ มีจำนวนคุณภาพเท่ากับ 12 ($s = 12$)

2. ผลการวิเคราะห์ข้อมูล

2.1 ผลการพยากรณ์โดยวิธีบอกซ์-เจนกินส์

จากการพิจารณาลักษณะการเคลื่อนไหวของอนุกรมเวลา
อุณหภูมิเฉลี่ยต่อเดือนในเขตกรุงเทพมหานคร ตั้งแต่เดือนมกราคม

2546 ถึงเดือนพฤษภาคม 2555 กราฟฟังก์ชันสหสัมพันธ์ในตัวเอง (Autocorrelation Function: ACF) และกราฟฟังก์ชันสหสัมพันธ์ในตัวเองบางส่วน (Partial Autocorrelation Function: PACF) ดังภาพที่ 1 และ 2 พบร้า อนุกรมเวลา�ังไม่เป็นสเตชันนารี เนื่องจากมีส่วนประกอบของความผันแปรตามฤดูกาล ดังนั้นผู้วิจัย จึงแปลงข้อมูลด้วยการทำผลต่างฤดูกาลสำาดที่ 1 ($D = 1, s = 12$) ได้กราฟ ACF และ PACF ของอนุกรมเวลาที่แปลงข้อมูลแล้ว แสดงดังภาพที่ 3 ซึ่งพบว่า อนุกรมเวลา�ังมีลักษณะไม่เป็น สเตชันนารี เนื่องจากค่าสัมประสิทธิ์สหสัมพันธ์ในตัวเองจาก ภาพที่ 3 (ข่าย) มีลักษณะลดลงอย่างช้าๆ จึงแปลงข้อมูลอีกครั้ง ด้วยการทำผลต่างสำาดที่ 1 ($d = 1$) ได้กราฟ ACF และ PACF ของอนุกรมเวลาที่แปลงข้อมูลใหม่ครั้งที่ 2 แสดงดังภาพที่ 4 ซึ่งพบว่า อนุกรมเวลาไม่มีลักษณะเป็นสเตชันนารี จึงกำหนดตัวแบบ พยากรณ์ที่เป็นไปได้ พร้อมกับประมาณค่าพารามิเตอร์แสดงดัง ตารางที่ 1 โดยตัวแบบพยากรณ์ที่มีค่า BIC ต่ำที่สุด และมีค่าสถิติ Ljung-Box Q ไม่มียั่งยืนที่ระดับ 0.01 คือ ตัวแบบ SARIMA $(0, 1, 1)(2, 1, 0)_{12}$ ไม่มีพจน์ของค่าคงที่ เมื่อพิจารณากราฟ ACF และ PACF ของความคลาดเคลื่อนจากการพยากรณ์ในภาพที่ 5 พบร้า ค่าสัมประสิทธิ์สหสัมพันธ์ในตัวเองและสัมประสิทธิ์สหสัมพันธ์

ในตัวเองบางส่วนของความคลาดเคลื่อนจากการพยากรณ์ต่อกันอยู่ใน ขอบเขตความเชื่อมั่นร้อยละ 99 ดังนั้นตัวแบบ SARIMA($0, 1, 1$ $(2, 1, 0)_{12}$) ไม่มีพจน์ของค่าคงที่ มีความเหมาะสม ซึ่งจากสมการที่ (1) สามารถเขียนเป็นตัวแบบได้ดังนี้

$$\begin{aligned}\Phi_2(B^{12})(1-B)(1-B^{12})Y_t &= \theta_1(B)\varepsilon_t \\ (1-\Phi_1B^{12}-\Phi_2B^{24})(1-B)(1-B^{12})Y_t &= (1-\theta_1B)\varepsilon_t \\ (1-B-(1+\Phi_1)(B^{12}-B^{13})+(\Phi_1-\Phi_2)(B^{24}-B^{25}) \\ +\Phi_2(B^{36}-B^{37})Y_t &= \varepsilon_t - \theta_1\varepsilon_{t-1} \\ Y_t &= Y_{t-1} + (1+\Phi_1)(Y_{t-12}-Y_{t-13}) - (\Phi_1-\Phi_2)(Y_{t-24}-Y_{t-25}) \\ - \Phi_2(Y_{t-36}-Y_{t-37}) + \varepsilon_t - \theta_1\varepsilon_{t-1}\end{aligned}$$

เมื่อแทนค่าประมาณพารามิเตอร์จากตารางที่ 1 จะได้ตัวแบบ พยากรณ์แสดงดังนี้

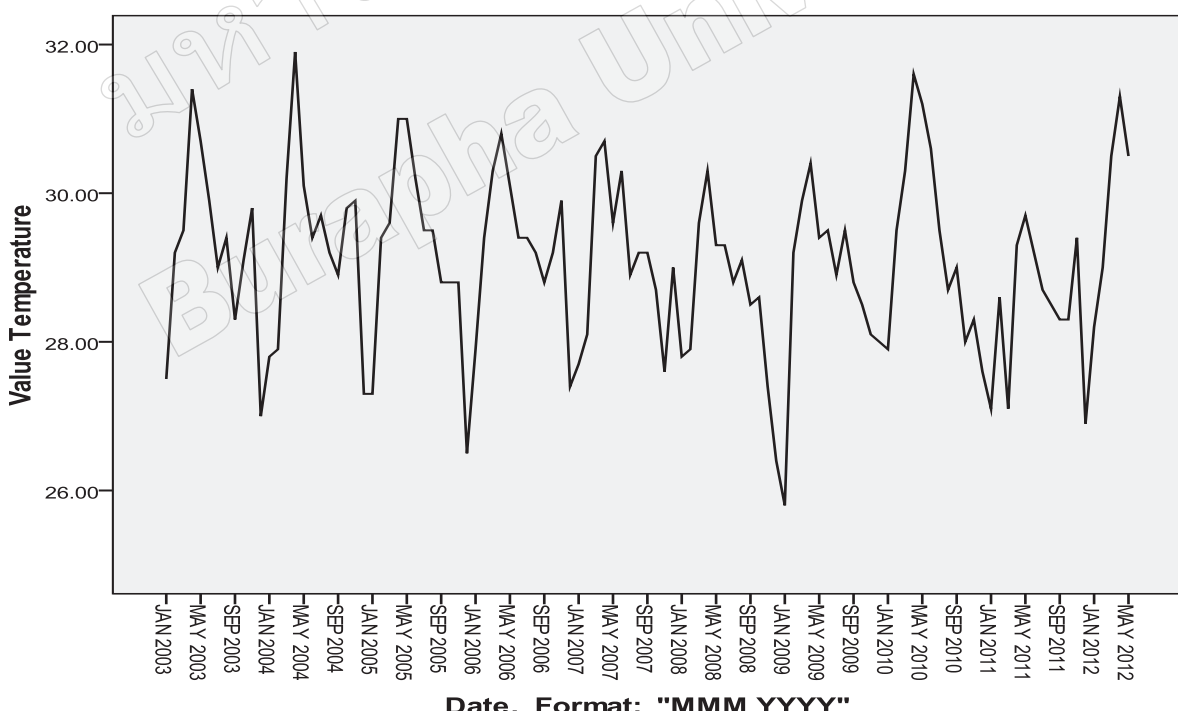
$$\hat{Y}_t = Y_{t-1} + 0.259920(Y_{t-12}-Y_{t-13}) + 0.386554(Y_{t-24}-Y_{t-25}) + 0.353526(Y_{t-36}-Y_{t-37}) - 0.773048e_{t-1} \quad (6)$$

เมื่อ \hat{Y}_t แทนค่าพยากรณ์ ณ เวลา t

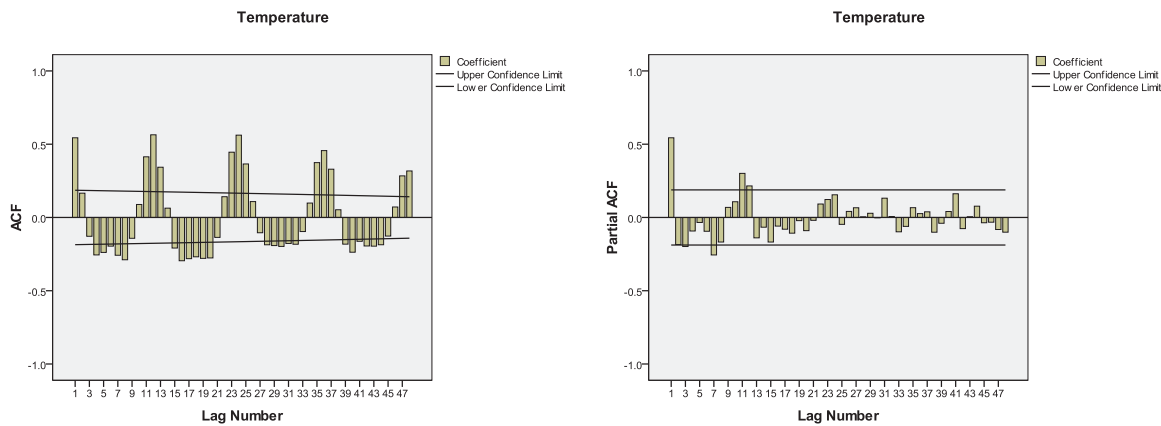
Y_{t-j} แทนอนุกรมเวลา ณ เวลา $t-j$

e_{t-1} แทนความคลาดเคลื่อนจากการพยากรณ์ ณ เวลา

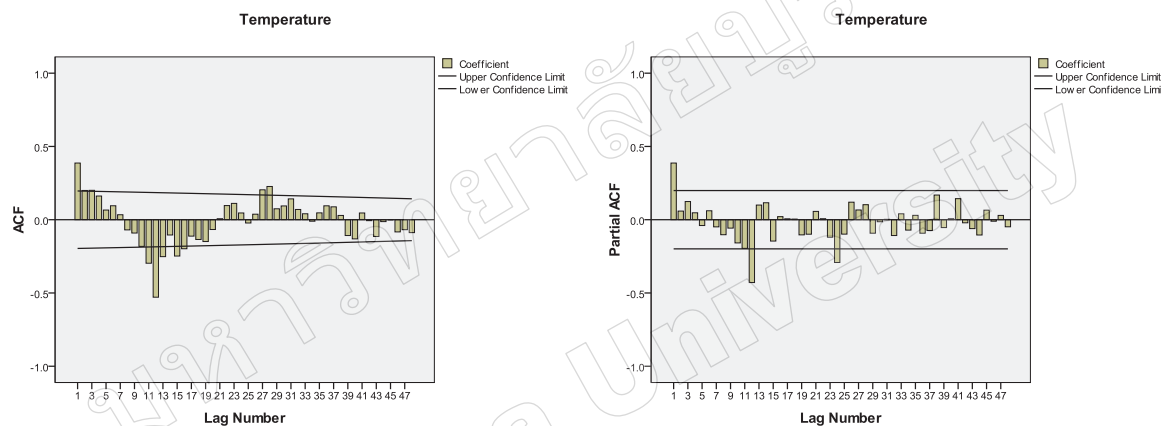
$t-1$



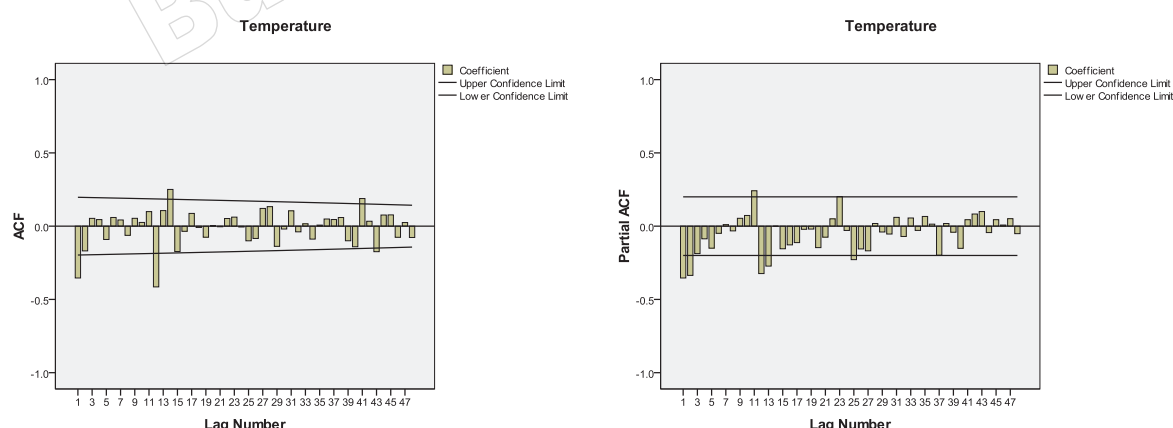
ภาพที่ 1 ลักษณะการเคลื่อนไหวของอนุกรมเวลาอุณหภูมิเฉลี่ยต่อเดือนในเขตกรุงเทพมหานคร ตั้งแต่เดือนมกราคม 2546 ถึง เดือนพฤษภาคม 2555



ภาพที่ 2 กราฟ ACF และ PACF ของอนุกรมเวลาอุณหภูมิเฉลี่ยต่อเดือนในเขตกรุงเทพมหานคร



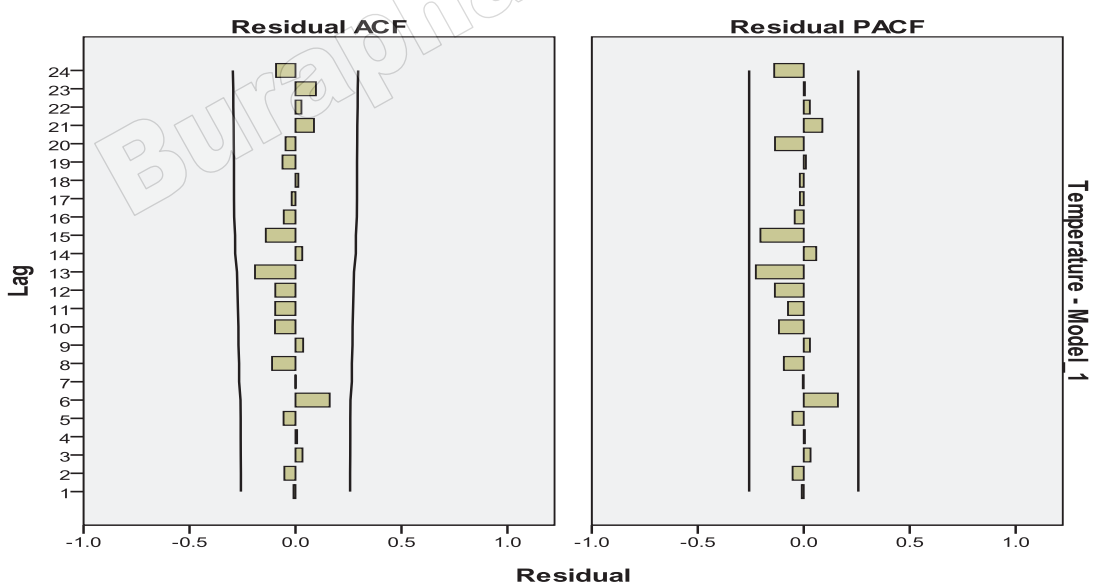
ภาพที่ 3 กราฟ ACF และ PACF ของอนุกรมเวลาอุณหภูมิเฉลี่ยต่อเดือนในเขตกรุงเทพมหานคร เมื่อแปลงข้อมูลด้วยการหาผลต่าง
คุณภาพลำดับที่ 1



ภาพที่ 4 กราฟ ACF และ PACF ของอนุกรมเวลาอุณหภูมิเฉลี่ยต่อเดือนในเขตกรุงเทพมหานคร เมื่อแปลงข้อมูลด้วยการหาผลต่างและ
ผลต่างคุณภาพลำดับที่ 1

ตารางที่ 1 ค่าประมาณพารามิเตอร์ ค่า BIC และค่าสถิติ Ljung-Box Q ของตัวแบบ SARIMA(p, d, q)(P, D, Q)_s

ค่าประมาณพารามิเตอร์	SARIMA(p, d, q)(P, D, Q) _s				
	SARIMA (2, 1, 1)(2, 1, 1) ₁₂	SARIMA (2, 1, 1)(2, 1, 1) ₁₂	SARIMA (2, 1, 1)(2, 1, 0) ₁₂	SARIMA (1, 1, 1)(2, 1, 0) ₁₂	SARIMA (0, 1, 1)(2, 1, 0) ₁₂
ค่าคงที่	ค่าประมาณ p-value	0.002697 0.716	-	-	-
AR(1): ϕ_1	ค่าประมาณ p-value	0.013371 0.936	0.015529 0.926	-0.018187 0.910	0.035595 0.789
AR(2): ϕ_2	ค่าประมาณ p-value	-0.093214 0.495	-0.090365 0.507	-0.046720 0.732	-
MA(1): θ_1	ค่าประมาณ p-value	0.719811 0.000	0.721612 0.000	0.739558 0.000	0.796890 0.000
SAR(1): Φ_1	ค่าประมาณ p-value	0.036145 0.886	0.028018 0.911	-0.732734 0.000	-0.741025 0.000
SAR(1): Φ_2	ค่าประมาณ p-value	0.096124 0.649	0.098341 0.640	-0.352008 0.003	-0.347660 0.003
SMA(1): Θ_1	ค่าประมาณ p-value	0.994698 0.913	0.997174 0.953	-	-
BIC	-	-0.175	-0.231	-0.229	-0.285
Ljung-Box Q (ณ lag 18)	-	15.194	15.108	15.064	16.045
p-value	-	0.231	0.236	0.303	0.311
					0.420



ภาพที่ 5 กราฟ ACF และ PACF ของความคลาดเคลื่อนจากการพยากรณ์ด้วยวิธีบอกซ์-เจนกินส์ ที่มีตัวแบบ SARIMA(0, 1, 1)(2, 1, 0)₁₂ ไม่มีพจน์ของค่าคงที่

2.2 ผลการพยากรณ์โดยวิธีการทำให้เรียบแบบเอกซ์โพเนนเชียลที่มีคุณภาพอย่างง่าย

จากการสร้างตัวแบบพยากรณ์ด้วยวิธีการทำให้เรียบแบบเอกซ์โพเนนเชียลที่มีคุณภาพอย่างง่าย พบร่วมกับ BIC มีค่าเท่ากับ -0.839 และมีค่าสถิติ Ljung-Box Q ไม่มีนัยสำคัญที่ระดับ 0.01 (Ljung-Box Q ณ lag 18 = 21.987, p-value = 0.144) จากการพิจารณากราฟ ACF และ PACF ของความคลาดเคลื่อนจากการพยากรณ์ในภาพที่ 6 พบร่วมกับค่าสัมประสิทธิ์สหสัมพันธ์ในตัวเองและสัมประสิทธิ์สหสัมพันธ์ในตัวเองบางส่วนของความคลาดเคลื่อนจากการพยากรณ์ตกลงกันในขอบเขตความเชื่อมั่นร้อยละ 99 ดังนั้นตัวแบบพยากรณ์ที่ได้มีความเหมาะสม ตัวแบบพยากรณ์แสดงดังนี้

$$\hat{Y}_t = 29.272915 + \hat{S}_t \quad (7)$$

เมื่อ \hat{Y}_t แทนค่าพยากรณ์ ณ เวลา t

\hat{S}_t แทนความผันแปรตามคุณภาพ หรือค่าดัชนีคุณภาพของอนุกรรมเวลาอุณหภูมิเฉลี่ยต่อเดือนในเขตกรุงเทพมหานคร

รายละเอียดแสดงดังตารางที่ 2 ซึ่งสามารถอธิบายได้ว่า อุณหภูมิเฉลี่ยต่อเดือนซึ่งเดือนมีนาคมถึงเดือนสิงหาคมมีค่าสูงกว่าซึ่งเดือนกันยายนถึงเดือนกุมภาพันธ์ เนื่องจากมีค่าดัชนีคุณภาพมากกว่า 0 โดยอุณหภูมิสูงที่สุดที่เดือนเมษายน และอุณหภูมิต่ำที่สุดที่เดือนธันวาคม

α และ δ มีค่าเท่ากับ 0.200076983 และ 0.000004026 ตามลำดับ

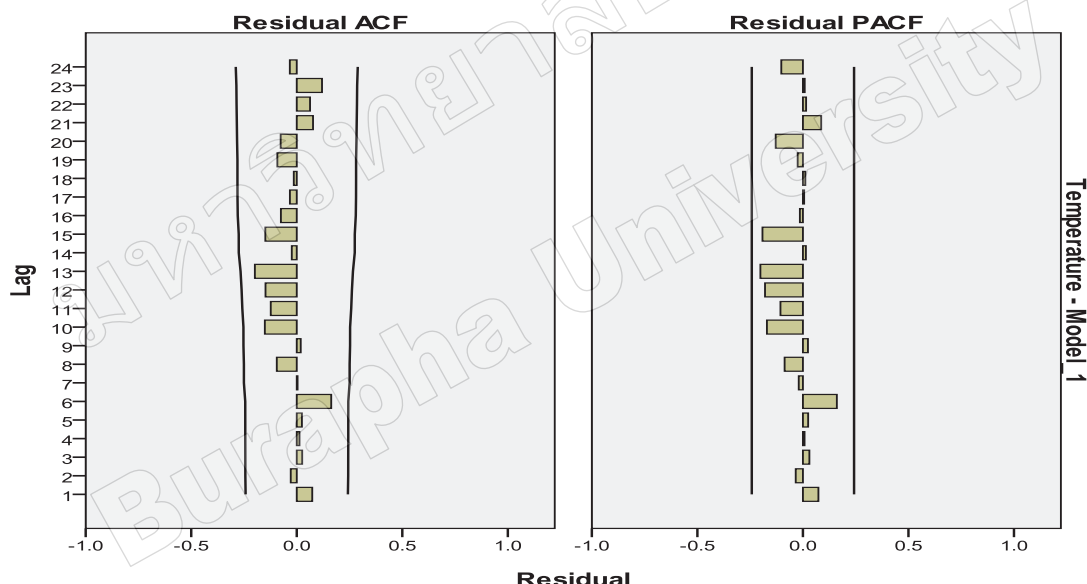
2.3 ผลการพยากรณ์โดยวิธีการทำให้เรียบแบบรวม

จากการประมาณค่าถ่วงน้ำหนักของแต่ละวิธีการทำให้เรียบแบบพยากรณ์รวมทั้งนี้

$$\hat{Y}_t = 1.397630 - 0.146846\hat{Y}_{1t} + 1.098697\hat{Y}_{2t} \quad (8)$$

เมื่อ \hat{Y}_t แทนค่าพยากรณ์รวม ณ เวลา t

\hat{Y}_{1t} และ \hat{Y}_{2t} แทนค่าพยากรณ์เดียว ณ เวลา t จากวิธีบอกร่องกินส์ และวิธีการทำให้เรียบแบบเอกซ์โพเนนเชียลที่มีคุณภาพอย่างง่าย ตามลำดับ



ภาพที่ 6 กราฟ ACF และ PACF ของความคลาดเคลื่อนจากการพยากรณ์ ด้วยวิธีการทำให้เรียบแบบเอกซ์โพเนนเชียลที่มีคุณภาพอย่างง่าย

ตารางที่ 2 ดัชนีคุณภาพของอนุกรรมเวลาอุณหภูมิเฉลี่ยต่อเดือนในเขตกรุงเทพมหานคร จากการทำให้เรียบแบบเอกซ์โพเนนเชียลที่มีคุณภาพอย่างง่าย

เดือน	ค่าประมาณดัชนีคุณภาพ	เดือน	ค่าประมาณดัชนีคุณภาพ
มกราคม	-1.583188	กรกฎาคม	0.072370
กุมภาพันธ์	-0.263189	สิงหาคม	0.061258
มีนาคม	0.666811	กันยายน	-0.349853
เมษายน	1.786810	ตุลาคม	-0.305409
พฤษภาคม	1.076809	พฤศจิกายน	-0.283187
มิถุนายน	0.672370	ธันวาคม	-1.738742

3. ผลการคัดเลือกวิธีการพยากรณ์ที่เหมาะสม

จากการใช้ตัวแบบพยากรณ์ของวิธีบอคซ์-เจนกินส์ วิธีการทำให้เรียบแบบเอกซ์โพเนนเชียลที่มีคุณภาพอย่างง่าย และวิธีการพยากรณ์รวม ในสมการที่ (6) ถึง (8) ตามลำดับ สำหรับการพยากรณ์ข้อมูลชุดที่ 2 คือ อุณหภูมิเฉลี่ยต่อเดือน ตั้งแต่เดือนมิถุนายน 2555 ถึงเดือนมกราคม 2556 ได้ค่าพยากรณ์ และค่าเปอร์เซ็นต์ความคลาดเคลื่อนสัมบูรณ์เฉลี่ย (MAPE) แสดงดังตารางที่ 3 พบว่า วิธีการพยากรณ์รวมมีความเหมาะสมสมกับอุณหภูมิเวลาชุดนี้มากที่สุด เนื่องจากให้ค่าพยากรณ์ที่มีความแตกต่างกับข้อมูลจริงน้อยที่สุด หรือมีค่า MAPE ต่ำที่สุด

4. ผลการพยากรณ์อุณหภูมิเฉลี่ยต่อเดือนในเขตกรุงเทพมหานคร

จากผลการคัดเลือกวิธีการพยากรณ์ที่เหมาะสม ซึ่งพบว่า วิธีการพยากรณ์รวมมีความเหมาะสมสมกับอุณหภูมิเวลาชุดนี้มากที่สุด

ดังนั้นผู้วิจัยจึงเลือกใช้วิธีการดังกล่าวในการพยากรณ์อุณหภูมิเฉลี่ยต่อเดือนในเขตกรุงเทพมหานคร ตั้งแต่เดือนกุมภาพันธ์ถึงเดือนธันวาคม 2556 รายละเอียดแสดงดังตารางที่ 4 และภาพที่ 7

สรุปผลการวิจัย

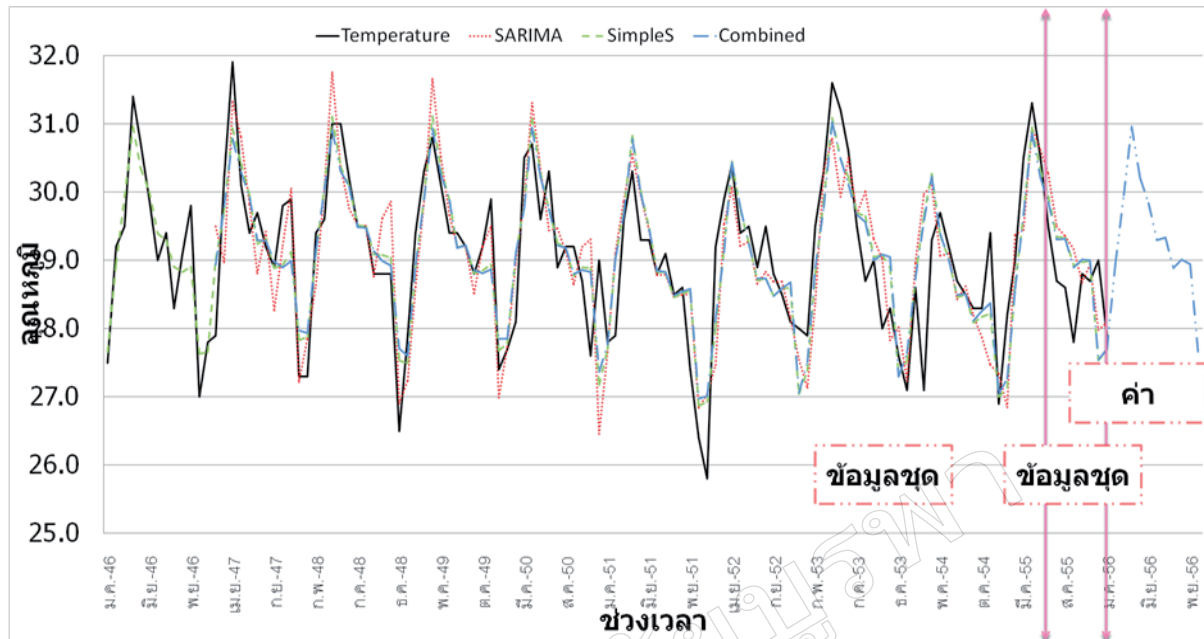
การวิจัยครั้งนี้ได้นำเสนอวิธีการสร้างและคัดเลือกตัวแบบพยากรณ์ที่เหมาะสมสมกับอุณหภูมิเวลาอุณหภูมิเฉลี่ยต่อเดือนในเขตกรุงเทพมหานคร โดยใช้ข้อมูลตั้งแต่เดือนมกราคม 2546 ถึงเดือนมกราคม 2556 จำนวน 121 ค่า จากเว็บไซต์ของบริษัท Própelin Consulting S.L.U. ประเทศสเปน ซึ่งมีสำนักงานใหญ่จัดตั้งอยู่ที่ประเทศไทย และมีการรวบรวมข้อมูลอุณหภูมิจากทั่วโลกที่ผ่านการรับรองความถูกต้องโดยสถานทูตและสถานกงสุล ผู้วิจัยได้แบ่งข้อมูลออกเป็น 2 ชุด ชุดที่ 1 ตั้งแต่เดือนมกราคม

ตารางที่ 3 ค่าจริงและค่าพยากรณ์ของอุณหภูมิเฉลี่ยต่อเดือนในเขตกรุงเทพมหานคร °C ตั้งแต่เดือนมิถุนายน 2555 ถึงเดือนมกราคม 2556 และค่าเปอร์เซ็นต์ความคลาดเคลื่อนสัมบูรณ์เฉลี่ย (MAPE)

ช่วงเวลา	อุณหภูมิเฉลี่ย ต่อเดือนจริง	อุณหภูมิเฉลี่ยต่อเดือนจากการพยากรณ์โดยวิธี		
		บอคซ์-เจนกินส์	คุณภาพอย่างง่าย	พยากรณ์รวม
ม.ย. 55	29.5	30.26509	29.94529	29.85415
ก.ค. 55	28.7	29.49780	29.34529	29.30760
ส.ค. 55	28.6	29.34869	29.33417	29.31728
ก.ย. 55	27.8	29.16521	28.92306	28.89254
ต.ค. 55	28.8	28.67260	28.96751	29.01371
พ.ย. 55	28.7	28.93306	28.98973	28.99988
ธ.ค. 55	29.0	27.97732	27.53417	27.54100
ม.ค. 56	27.9	28.08659	27.68973	27.69587
MAPE		2.2940	2.2205	2.1631

ตารางที่ 4 ค่าพยากรณ์ของอุณหภูมิเฉลี่ยต่อเดือนในเขตกรุงเทพมหานคร °C ตั้งแต่เดือนกุมภาพันธ์ถึงเดือนธันวาคม 2556

ช่วงเวลา	ค่าพยากรณ์	ช่วงเวลา	ค่าพยากรณ์
ก.พ. 56	28.94741	ส.ค. 56	29.33777
มี.ค. 56	29.95556	ก.ย. 56	28.88887
เม.ย. 56	30.96320	ต.ค. 56	29.00842
พ.ค. 56	30.21171	พ.ย. 56	28.94488
มิ.ย. 56	29.83586	ธ.ค. 56	27.56038
ก.ค. 56	29.29141		



ภาพที่ 7 การเปรียบเทียบอนุกรมเวลาอุณหภูมิเฉลี่ยต่อเดือนในเขตกรุงเทพมหานคร และค่าพยากรณ์จากวิธีการทางสถิติ 3 วิธี ได้แก่ วิธีบอคซ์-เจนกินส์ วิธีการทำให้เรียบแบบเอกซ์โพเนนเชียลที่มีคุณภาพอย่างง่าย และวิธีการพยากรณ์รวม

2546 ถึงเดือนพฤษภาคม 2555 จำนวน 113 ค่า สำหรับการสร้างตัวแบบพยากรณ์ด้วยวิธีบอคซ์-เจนกินส์ วิธีการทำให้เรียบแบบเอกซ์โพเนนเชียลที่มีคุณภาพอย่างง่าย และวิธีการพยากรณ์รวมชุดที่ 2 ตั้งแต่เดือนมิถุนายน 2555 ถึงเดือนมกราคม 2556 จำนวน 8 ค่า สำหรับการคัดเลือกวิธีการพยากรณ์ที่เหมาะสมโดยใช้เกณฑ์เบอร์เซ็นต์ความคลาดเคลื่อนสัมบูรณ์เฉลี่ยที่ต่ำที่สุดผลการศึกษาพบว่า วิธีการพยากรณ์รวมมีความเหมาะสมสมกับอนุกรมเวลาชุดนี้มากที่สุด ซึ่งมีตัวแบบพยากรณ์ คือ

$$\hat{Y}_t = 1.397630 - 0.146846 \hat{Y}_{1t} + 1.098697 \hat{Y}_{2t}$$

เมื่อ \hat{Y}_{1t} และ \hat{Y}_{2t} แทนค่าพยากรณ์เดียว ณ เวลา t จากวิธีบอคซ์-เจนกินส์ และวิธีการทำให้เรียบแบบเอกซ์โพเนนเชียลที่มีคุณภาพอย่างง่าย ตามลำดับ

จากค่าพยากรณ์ของอุณหภูมิในเขตกรุงเทพมหานครที่ได้นำเสนอไว้ในการวิจัยครั้งนี้ พบว่า อุณหภูมิสูงที่สุดยังคงเป็นเดือนเมษายน แต่ค่าพยากรณ์ดังกล่าวเป็นเพียงค่าเฉลี่ยต่อเดือน ซึ่งในบางวันของเดือนเมษายนอาจมีอุณหภูมิที่สูงกว่าหรือต่ำกว่าค่าที่แสดงไว้ ดังนั้นการศึกษาครั้งต่อไปควรใช้อุณหภูมิเฉลี่ยต่อวันสำหรับการพยากรณ์เพื่อให้ได้ค่าพยากรณ์ที่มีความละเอียด และศึกษาวิธีการพยากรณ์รวมแบบอื่นๆ เพื่อให้ได้ค่าพยากรณ์ที่มีความแม่นยำมากขึ้น เช่น วิธีค่าสัมบูรณ์ต่ำสุด (Least Absolute Value

Method: LAV) และวิธีความแปรปรวนต่ำสุด (Minimum Variance Method: MV) เป็นต้น

กิตติกรรมประกาศ

ผู้วิจัยขอขอบคุณ คุณมารณี มะเย็ง และคุณรัตน์ชญา พรหนวิจิตร นิสิตสาขาวิชาสถิติ คณะวิทยาศาสตร์ มหาวิทยาลัย ทักษิณ วิทยาเขตพัทลุง ที่ช่วยเรียบเรียงข้อมูลสำหรับการวิจัยครั้งนี้

เอกสารอ้างอิง

ชัยวัฒน์ มั่นเจริญ. (ม.ป.ป.). สถานการณ์ภาวะการณ์เปลี่ยนแปลงสภาพภูมิอากาศของไทยและของโลก และนโยบายที่เกี่ยวข้องกับสภาวะโลกร้อนของประเทศไทย. วันที่ค้นข้อมูล 3 มีนาคม 2556, เข้าถึงได้จาก http://archive.iwlearn.net/www.lwmea.org/information-and-publications/presentation_from_the_training_on_the_mitigation_of_green_house_gas_emissions_from_intensive_livestock_production_in_thailand_27-29_july_2009/03_dr_chaiwat-gwpolicy_27july09.pdf

พัฒนพงษ์ วีรยุทธกุล. (2556). หน่วยที่ 4 การวัดอุณหภูมิ.
วันที่ค้นข้อมูล 3 มีนาคม 2556, เข้าถึงได้จาก <http://www.ind.cru.in.th/patanaphong/>

มุกดา แม่นมินทร์. (2549). อนุกรรมเวลาและการพยากรณ์.
กรุงเทพฯ: โฟร์พรินติ้ง.

รังสรรค์ อาทิตย์ภากุล. (2547). อุตุนิยมวิทยาเบื้องต้น. กรุงเทพฯ:
จุฬาลงกรณ์มหาวิทยาลัย.

วรangคณา กีรติวิบูลย์ และเฉล้อชูฟาน มาหิเล. (2556). ตัวแบบ
พยากรณ์ความเร็วลมตามแนวชายฝั่ง สำหรับท่าศาลา
จังหวัดนครศรีธรรมราช. วารสารวิจัย มช., 18(1), 32-50.

ศูนย์สารสนเทศ สำนักชลประทานที่ 14. (ม.ป.ป.). อุณหภูมิ
และความกดอากาศ. วันที่ค้นข้อมูล 2 มีนาคม 2556,
เข้าถึงได้จาก http://kmcenter.rid.go.th/kmc14/f_water/PDF/situation1.pdf

สมเกียรติ เกตุเอี่ยม. (2548). เทคนิคการพยากรณ์. (พิมพ์ครั้งที่ 2).
สงขลา: มหาวิทยาลัยทักษิณ.

สาขาวิชาศาสตร์รัฐยศึกษา สถาบันส่งเสริมการสอนวิทยาศาสตร์
และเทคโนโลยี. (ม.ป.ป.). อุณหภูมิของอากาศ. วันที่ค้นข้อมูล
3 มีนาคม 2556, เข้าถึงได้จาก <http://secondsci.ipst.ac.th/files/e-learning/atmosphere/assignments/C0010005/source/pdf/02/01.pdf>

สำนักวิทยบริการและเทคโนโลยีสารสนเทศ มหาวิทยาลัยราชภัฏ
อุตรดิตถ์. (ม.ป.ป.). บทที่ 4 อุณหภูมิ. วันที่ค้นข้อมูล 3
มีนาคม 2556, เข้าถึงได้จาก <http://library.uru.ac.th/bookonline/Books/bookonline44-4.pdf>

Bowerman, B.L., & O'Connell, R.T. (1993). *Forecasting and Time Series: An Applied Approach*. (3rd ed.). California: Duxbury Press.

Box, G.E.P., Jenkins, G.M., & Reinsel, G.C. (1994). *Time Series Analysis: Forecasting and Control*. (3rd ed.). New Jersey: Prentice Hall.

Montgomery, D.C., Peck, E.A., & Vining, G.G. (2006). *Introduction to Linear Regression Analysis*. (4th ed.). New York: Wiley.

Própelin Consulting S.L.U. (2013, February). The Monthly
Mean of Temperature Time Series in Bangkok.
Retrieved February 14, 2013, from <http://www.tutiempo.net/en/Climate/BANGKOK/01-2013/484550.htm>